

3次元多様体のグラフ表現

筑波大学 数学 高橋元男

G を、4次の球面連結グラフとする。

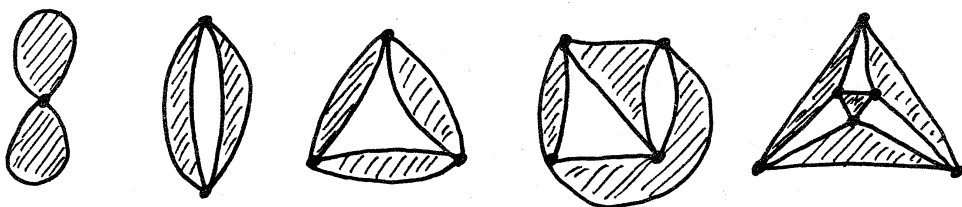


図1. G の例。

Eulerの標数の関係から、 G の頂点の数を n とすれば、辺の数は $2n$ 、面の数は $n+2$ である。

3-disk D^3 の表面に G を書き、面を2色（例えは、赤と青）で色分けする。この様なもののコピーを4つ（I, II, III, IVとする）用意する。次に、赤でぬった面はIとII, IIIとIVの対応点をもれどれ、はり合せる。青でぬった面はIIとIII, IVとIの対応点をもれどれ、はり合せる。この様にして得られた空間を $M'(G)$ とする。更に、

$$M(G) = M'(G) - \{\text{頂点}\}$$

$$\tilde{M}(G) = M'(G) - \{\text{頂点の十分小さい正則近傍}\}$$

とする。 $\tilde{M}(G)$ は境界が有限個のトーラスからなるコンパクト（可付号連結）3-多様体であり、 $M(G)$ はその内部と同相である。 G の頂点と $\tilde{M}(G)$ の境界成分は 1-1 に対応する。 G の頂点全体の集合を v とし、 $v \in v$ に対応する $\tilde{M}(G)$ の境界成分を T_v とする。

もちろん、 $\pi_1(M(G)) \cong \pi_1(\tilde{M}(G))$ であるが、この群の表示をグラフ G から読み取ることを考える。各頂点 $v \in v$ に対し、2つの生成元 a_v, b_v を対応させ、グラフの頂点 v の名前は、次の様に書く：

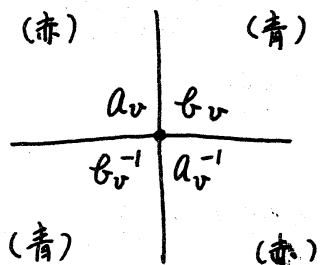


図 2.

球面グラフ G の面全体の集合を \mathcal{F} とし、各 $\Delta \in \mathcal{F}$ に対し、次の様な関係式 $r_\Delta = 1$ を対応させよ：

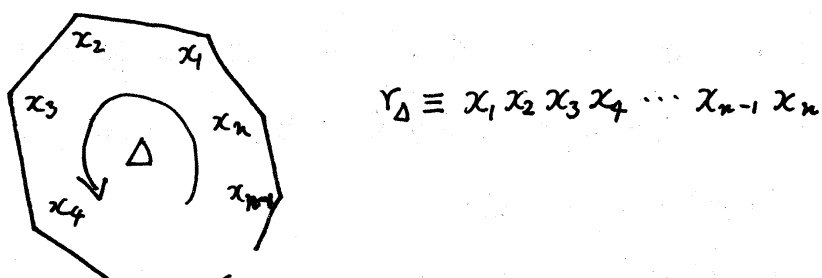


図 3.

Δ の頂点のそなに書かれた生成元を 1 つの頂点から反時計まわりに次々と読んで行き、一周した時得られる語を r_Δ とする。

赤の面全体を \mathcal{F}_1 、青の面全体を \mathcal{F}_2 とする。 $(\mathcal{F} = \mathcal{F}_1 \cup \mathcal{F}_2)$

定理 1.

$$\pi_1(M(G)) \cong \langle \{a_v, b_v\}_{v \in V} \mid \{[a_v, b_v] = 1\}_{v \in V}, \{r_\Delta = 1\}_{\Delta \in \mathcal{F}} \rangle.$$

但し $[a, b] = aba^{-1}b^{-1}$ 。この関係式にはまだがあり各関係式 $r_\Delta = 1$ ($\Delta \in \mathcal{F}_i$) は他の $r_{\Delta'} = 1$ ($\Delta' \in \mathcal{F}_i$) の全体から導びかれる ($i=1, 2$)。(従って関係式のうち 2 つは不要である。)

〔例 1〕 G を次のグラフとすみや。

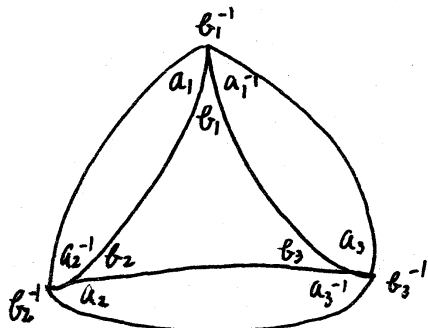


図 4.

$$\pi_1(M(G)) \cong \langle a_1, b_1, a_2, b_2, a_3, b_3 \mid$$

$$[a_1, b_1] = [a_2, b_2] = [a_3, b_3] = a_1 a_2^{-1} = a_2 a_3^{-1} = a_3 a_1^{-1} = b_1 b_2 b_3 = b_2 b_3 b_1 = b_3 b_1 b_2 = 1 \rangle$$

$$\cong \langle a_1, b_1, a_2, b_2, a_3, b_3 \mid [a_1, b_1] = [a_2, b_2] = [a_3, b_3] = b_1 b_2 b_3 = 1,$$

$$a_1 = a_2 = a_3 \rangle$$

$$\cong \langle a, b_1, b_2, b_3 \mid [a, b_1] = [a, b_2] = [a, b_3] = 1, b_1 b_2 b_3 = 1 \rangle$$

$$\cong \langle a, b_1, b_2 \mid [a, b_1] = [a, b_2] = 1 \rangle,$$

である. $M(G)$ は次の絡み目 の補集合と同相である:

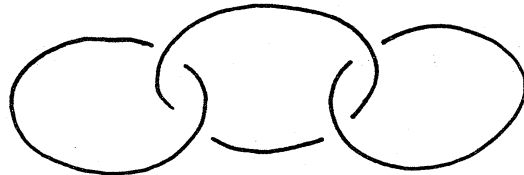


図 5.

定理1の証明. 3-disk のユビー I, II, III, IV から頂点を除いたものを I', II', III', IV' とする. $X = I' \cup II'$ とすれば (赤の面だけはり合せてある), $\pi_1(X)$ は自由群である. 今, 原点 O を II' の内部に取り, ループ a_v ($v \in V$) を次の様に定義する:

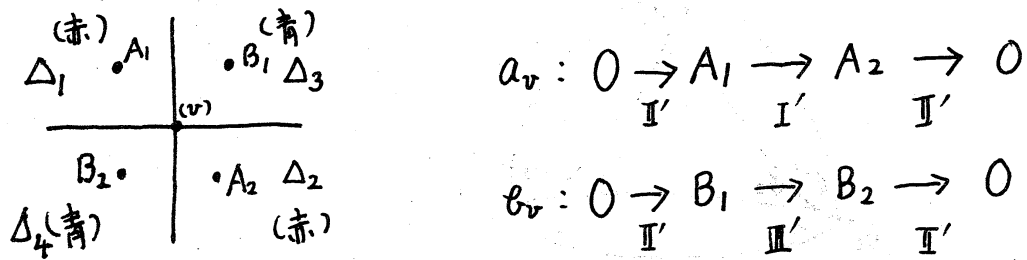


図 6.

a_v は O から出発し, II' の中で v を頂点とする赤の面の一つ Δ_1 の点 A_1 に達し, そこから I' に入り v を頂点とするもう一つの赤の面 Δ_2 の点 A_2 に達し, そこから再び II' の中に入り O に戻るループとする.

$$\pi_1(X) \cong \langle \{a_v\}_{v \in V} \mid \{r_\Delta = 1\}_{\Delta \in \mathcal{F}_2} \rangle$$

であることは容易に分る。各 $r_\Delta = 1$ は他の $r_{\Delta'} = 1$ ($\Delta' \in \mathcal{F}_2$) の全体から導びかれる。

次に, $Y = \text{II}' \cup \text{III}'$ (青の面だけなり合せてある) とする。ルート b_v は, O から出発し, II' の中で v を頂点とする青の面の一つ Δ_3 の点 B_1 に達し, そこから III' の中に入り, v を頂点とするもう一つの青の面 Δ_4 の点 B_2 に達し, そこから再び II' の中に入り, O に戻るものとする。前と同様に,

$$\pi_1(Y) \cong \langle \{b_v\}_{v \in V} \mid \{r_\Delta = 1\}_{\Delta \in \mathcal{F}_1} \rangle$$

である。各 $r_\Delta = 1$ は他の $r_{\Delta'} = 1$ ($\Delta' \in \mathcal{F}_1$) の全体から導びかれる。ここで $Z = \text{I}' \cup \text{II}' \cup \text{III}' = X \cup Y$ ($X \cap Y = \text{II}'$) とき, van Kampen の定理を用いると

$$\pi_1(Z) \cong \pi_1(X) * \pi_1(Y)$$

$$\cong \langle \{a_v, b_v\}_{v \in V} \mid \{r_\Delta = 1\}_{\Delta \in \mathcal{F}} \rangle$$

である。最後に $M(G) = Z \cup IV'$ に対して van Kampen の定理を用いると定理が得られる。 記明終

次に, 枠つき 4 次球面グラフ F と, 4 次連結球面グラフ G であって, 各頂点に対し次の様な枠がついているものとしよう:

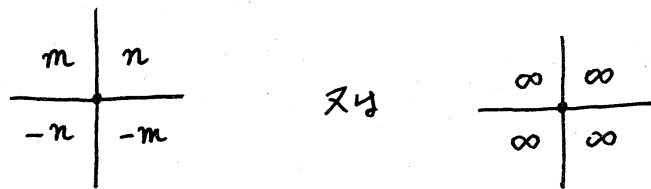


図 7.

ここで、 m と n は互いに素な整数($(m, n) = (0, 1), (1, 0)$ も可)とする。

この F に対し、 $\tilde{M}(F)$ は $\tilde{M}(G)$ から次の様にして得られる空間とする。先ず、棒 $\frac{\infty}{\infty} \frac{\infty}{\infty}$ の頂点はそのままとし棒 $\frac{m}{-n} \frac{n}{-m}$ の頂点 v に対しては、 $\tilde{M}(G)$ の境界成分 T_v に関する $a_v^n = b_v^m$ となるようDehn surgery(PPS solid torusを伴う)を行ふ。(a_v, b_v は $\pi_1(T_v)$ の生成元と考えてよいことに注意)このようにして得られた $\tilde{M}(F)$ も境界が有限個(0かもしれない)のトーラスからなるコンパクト多様体である。 $M(F)$ を $\tilde{M}(F)$ の内部とする。定理1より

$$\pi_1(M(F)) \cong \langle \{a_v, b_v\}_{v \in V} \mid \{[a_v, b_v] = 1\}_{v \in V}, \{r_\alpha = 1\}_{\alpha \in \Delta}, \{a_v^{n_v} = b_v^{m_v}\} \rangle.$$

ここで $\frac{m_v}{-n_v} \frac{n_v}{-m_v}$ は v の棒。

棒がすべて有限の時($\frac{m}{-n} \frac{n}{-m}$ の形の時)、 $\tilde{M}(F) = M(F)$ は单纯多様体となる。この時は、 $\pi_1(M(F))$ の表示でとても簡単なものが得られる。

各 $v \in V$ に対し、1つの生成元 c_v を対応させ、 v のときは
に次の様に書く。

$$\begin{array}{c|c} m & n \\ \hline -n & -m \end{array} \Rightarrow \begin{array}{c|c} c_v^m & c_v^n \\ \hline c_v^{-n} & c_v^{-m} \end{array}$$

図8.

各面 $\Delta \in \mathcal{F}$ に対し、関係式 $r'_\Delta = 1$ を次の様に対応させる。
対応のエセ方は前と同様(次の図参照)。

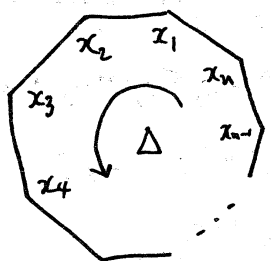


図9.

$$r'_\Delta \equiv x_1 x_2 x_3 x_4 \cdots x_{n-1} x_n$$

定理2. $\pi_1(M(F)) \cong \langle \{c_v\}_{v \in V} \mid \{r'_\Delta = 1\}_{\Delta \in \mathcal{F}} \rangle$.

ここで各 $r'_\Delta = 1$ ($\Delta \in \mathcal{F}_i$) は他の $r'_\Delta = 1$ ($\Delta \in \mathcal{F}_i$) の全体から導びかれる ($i=1, 2$). 従って関係式のうち2つは不要である。

[注意] 頂点の数を減らすならば、生成元の数も n 、関係式から2つ除いたものも n 個となる，“ n generators, n relators”の表示が得られる。この表示は $M(F)$ の genus n の Heegaard 分解から得られる表示である。

[131]

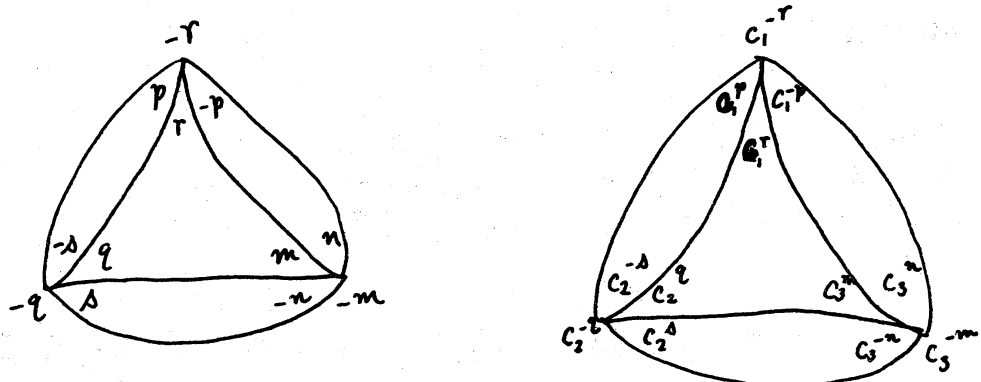


図 10.

$$\pi_1(M(F)) \cong \langle \frac{c_1, c_2}{c_1 + c_2}, c_3 \mid c_1^p c_2^{-s} = c_2^s c_3^{-n} = c_3^n c_1^{-p} = 1, c_1^r c_2^s c_3^m = c_1^{-r} c_3^{-m} c_2^{-q} = 1 \rangle$$

$$\cong \langle c_1, c_2, c_3 \mid c_1^p = c_2^s = c_3^n, c_1^r c_2^s c_3^m = 1 \rangle \dots (1)$$

$$\cong \langle c_1, c_2 \mid c_1^p c_2^{-s} = 1, c_1^{pm} (c_1^r c_2^s)^n = 1 \rangle \dots (2)$$

(1) は $M(F)$ の genus 1 の Heegaard 分解から得られる表示であり, (2) は genus 2 の Heegaard 分解から得られる表示である。

定理 2 の証明. $\pi_1(M(F)) \cong \langle \{a_v, b_v\}_{v \in V} \mid \{[a_v, b_v] = 1\}_{v \in V}, \{b_v = 1\}_{v \in V}, \{a_v^{nv} = b_v^{mv}\}_{v \in V} \rangle$ における, m_v と n_v は互いに素だから適当な整数 p_v, q_v に対して, $p_v m_v + q_v n_v = 1$ となる。今, $c_v = a_v^{pv} b_v^{qv}$ とおけば, a_v, b_v の可換性と, $a_v^{pv} = b_v^{qv}$ を用いて, $a_v = c_v^{m_v}, b_v = c_v^{n_v}$ が得られる。従って生成元 a_v, b_v を c_v で置きかえること が出来, その時, $[a_v, b_v] = 1 \wedge a_v^{nv} = b_v^{mv}$ が trivial を関係。

となり, $r_\alpha = 1$ が $r'_\alpha = 1$ に変る. 仮に

$$\pi_1(M(F)) \cong \langle \{c_v\}_{v \in V} \mid \{r'_\alpha = 1\}_{\alpha \in F} \rangle. \quad \text{証明終.}$$

定理3. 3次元連結可付号開多様体がグラフ表現 $M(F)$ を持つための必要十分条件は, それが, S^3 上の絡み目を分歧線とする2重分歧被覆空間と同相にあることである.

証明. F を構成せしグラフとし, 構成すべき有限とする. 各頂点 v の近傍でグラフを次の様に変形する. v の構成下図の様であるとする.

$$\begin{array}{c|c} m & n \\ \hline -n & -m \end{array}$$

図 11

ここで $m \geq 0, n \geq 0$ と假定しよう.

[変形の仕方]

$$\begin{array}{c|c} 0 & 1 \\ \hline -1 & 0 \end{array} \Rightarrow \begin{array}{c} \diagup \\ \diagdown \end{array}$$

$$\begin{array}{c|c} 1 & 0 \\ \hline 0 & -1 \end{array} \Rightarrow \begin{array}{c} \diagdown \\ \diagup \end{array}$$

$$\begin{array}{c|c} 1 & 1 \\ \hline -1 & -1 \end{array} \Rightarrow \begin{array}{c} \diagup \\ \diagdown \end{array}$$

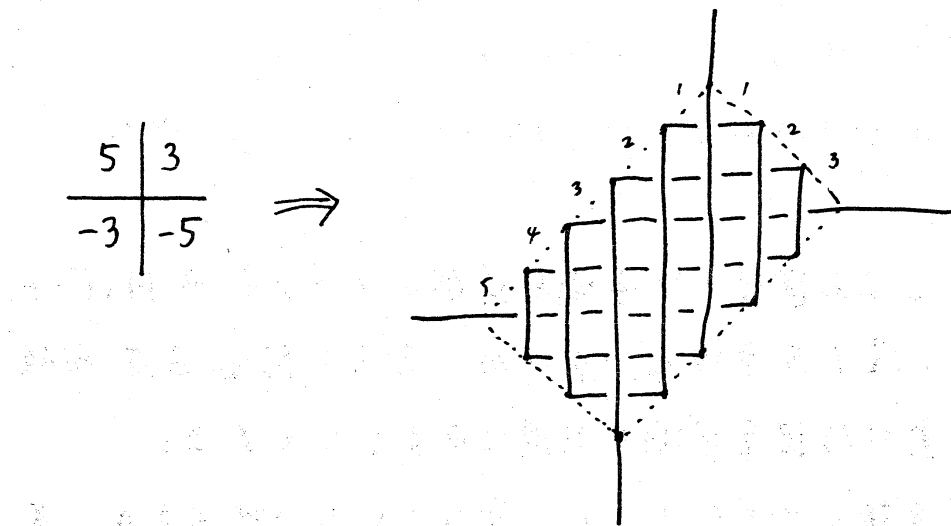


図 12.

一般の $\frac{m}{n}$ の場合も上図よりわかるであろう。各頂点を、その棒に従い、このように変形すると 1 つの絡み目の図が得られる。これを L_F とする。 $M(F)$ が L_F の 2 重分歧空間であることが示される。逆に任意の絡み目の図（但し連結である）が与えられたとすると、交叉点を重ねてしまえば 4 次球面グラフ G が出来る。これに、次のように棒をつりをものと F とする。

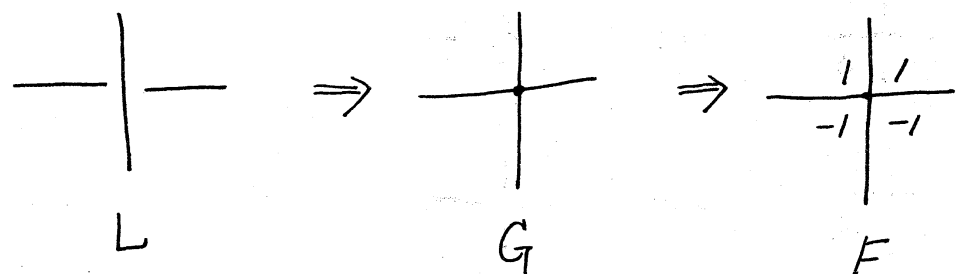


図 13.

そうすると $L = L_F$ となる。故に L の 2 重分歧被覆空間は $M(F)$ となる。

証明終。

4 次球面グラフ G において、頂上を通りず G の辺と n 回交又するような球面上の loop を n -loop と呼ぶことにする。
次の図を loop は trivial な 2-loop, 4-loop と呼ぶ。

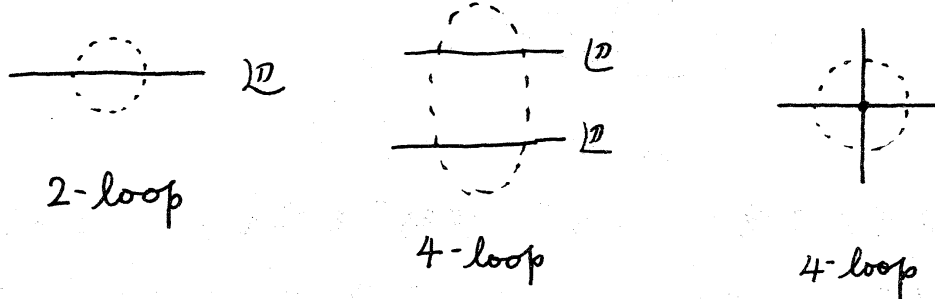


図 14.

Andreev の定理又は Thurston の定理を用いて次が証明出来る。

定理 4. $M(G)$ が有限体積完備な双曲的構造を持つための必要十分条件は、 G が 6 個以上の頂上を持ち、non-trivial な 2-loop, 4-loop を持たないことである。

例えば、最初のページにあげた最後のグラフ G はこの条件を満たすから $M(G)$ は双曲的構造を持つ。具体的にはその非ユークリッド幾何学の射影モデルに内接した正八面体を 4

つまり合せて得られる。この八面体の非ユークリッド的二面角はすべて 90° である。

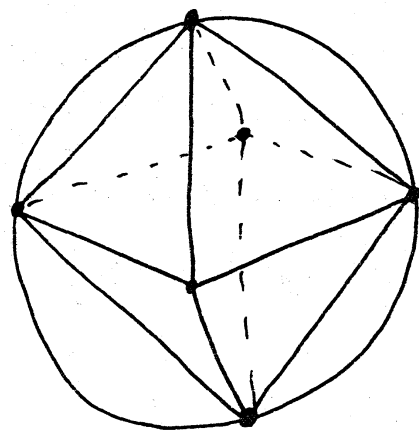


図 15.

グラフ G が下図のような "2 角形" を持てば、頂点は 3 個以下がある "non-trivial な 4-loop" を持つので $M(G)$ は双曲的構造を持てる。



図 16.

しかし、2 角形を持たない場合でも、次の様なグラフは上図のような 4-loop を持つので $M(G)$ は双曲的構造を持てる。しかしこういう場合は例外的であり大部分の G に対し $M(G)$ は双曲的構造を持つ。

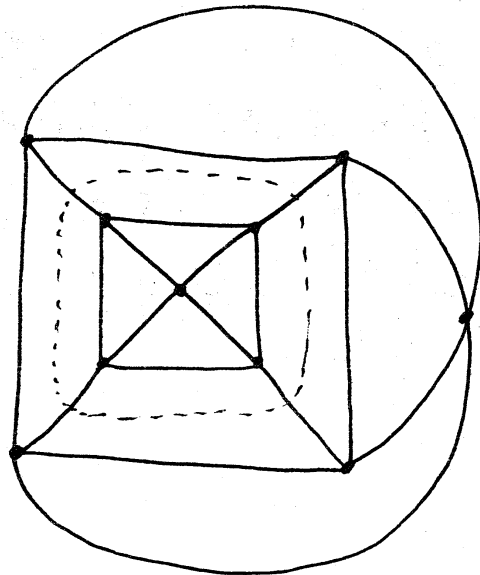


図 17.

G が non-trivial かつ 2-loop を持つとする:

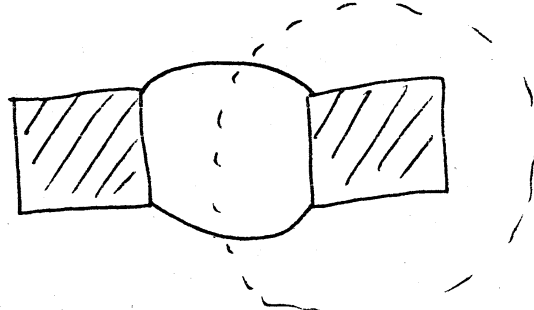
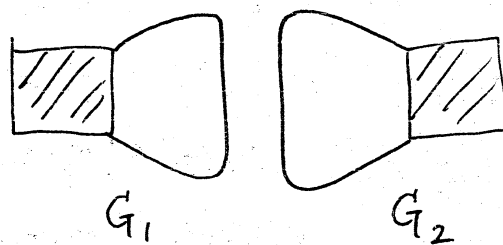


図 18.

この時 G を 2つのグラフ G_1, G_2 に分ける。



13

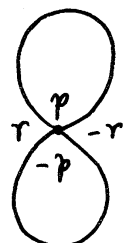
つまり $M(G) = M(G_1) \# M(G_2)$ (# が連結和)

となる。軸つきグラフ F の場合も同様に F_1 と F_2 に分けて

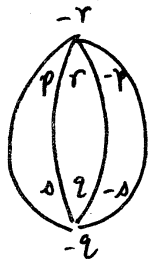
$\times M(F) = M(F_1) \# M(F_2)$ となる。

同様に、non-trivial な 4-loop からは“トーラス分解”
が出来る。

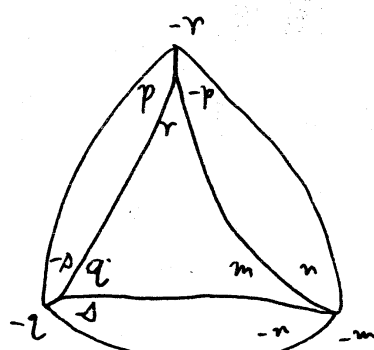
[$M(F)$ の例]



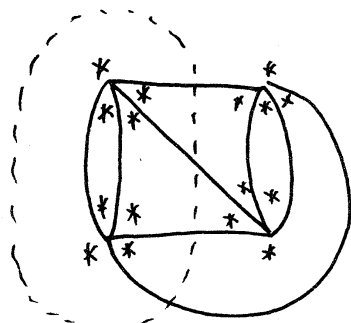
は 型 (p, r) の ~~トーラス~~ レンズ空間を表す。



もしレンズ空間を表す。



は $\left\{ \begin{array}{l} |p|=1 \text{ or } |s|=1 \text{ or } |n|=1 \text{ の時 } S^3 \text{ 空間}, \\ |p|=0 \text{ or } |s|=0 \text{ or } |n|=0 \text{ の時} \\ 2 \text{ つのレンズ空間の連結和}, \\ |p| \geq 2 \rightarrow |s| \geq 2 \rightarrow |n| \geq 2 \text{ の時}, \\ S^2 \text{ 上の } 4 \text{ つの } \pi_1 \text{ が } -3 \text{ 個の } \\ \text{Seifert fiber space となる} \end{array} \right.$



は 5体のよう \approx non-trivial 4-loop
を持ちト-ラス分割 \approx 3.
(incompressible torus \approx 5 to 1)